



УДК 669.162.244

В.И. Большаков /д. т. н./,

С.Т. Шулико, И.Г. Муравьева /к. т. н./,

Ю.С. Семенов

Институт черной металлургии НАН Украины

В.С. Листопадов

КГГМК "Криворожсталь"

А.А. Дударенко /к. т. н./

ООО «НИИ ММ»

Н.В. Михайловский,

В.П. Радченко

НМетАУ

Оценка изменения профиля засыпи шихты в доменной печи радиолокационным уровнемером

Представлены результаты исследований перемещения характерных точек профиля поверхности засыпи шихты в осевой зоне доменной печи объемом 5000 м³, полученных с помощью радиолокационного измерителя уровня засыпи на колошнике. Результаты исследований будут использованы при освоении автоматизированной системы контроля профиля засыпи шихты на ДП №9 комбината "Криворожсталь". Ил. 4. Табл. 1. Библиогр.: 8 назв.

доменная печь, радиолокационный измеритель, уровень засыпи шихты, профиль поверхности, параметры состояния поверхности засыпи, скорость схода

Информация о профиле поверхности засыпи шихты позволяет расширить возможности составления и коррекции программ загрузки шихты, повысить уровень автоматизации процесса загрузки и управления распределением шихты для обеспечения ровности хода печи, увеличения ее производительности и стабилизации состава чугуна /1, 2/.

С целью контроля уровня засыпи шихты на колошнике доменной печи (ДП) устанавливаются измерители уровня различных конструкций /3/. Наибольшее применение получили электромеханические измерители уровня. В последние годы за рубежом все большее распространение получают измерители уровня засыпи шихты, основанные на радиолокационном принципе измерений /4/. Это объясняется их преимуществами в сравнении с механическими измерителями, в частности, непрерывностью и достаточно высокой точностью измерений.

В 2002 г. ИЧМ совместно с сотрудниками меткомбината «Криворожсталь» разработано технологическое задание на создание и установку системы определения профиля засыпи шихты на ДП №9, обустроенной бесконусным загрузочным устройством с лотковым распределителем шихты фирмы "Paul Wurth" (БЗУ) /5/. Система определения профиля засыпи шихты разработана Национальной металлургической академией Украины и Научно-исследовательским институтом metallurgии и материаловедения (г. Днепропетровск) /6–8/. Установка этой системы, состоящей из стационарно установленных пяти измерителей на куполе и пятнадцати на переходном конусе печи, расположенных под разными углами наклона к поверхности засыпи шихты, предусмотрена во время капитального ремонта 1-го раз-

ряда на доменной печи №9 КГГМК «Криворожсталь». Для испытания входящих в систему измерителей уровня засыпи шихты типа РДУ–Х2 и накопления информации об изменениях положения контролируемых точек поверхности шихты на колошнике ДП №9 КГГМК "Криворожсталь" с ноября 2002 г. и до момента ее остановки на капитальный ремонт в мае 2003 г., проведено опытно-промышленное опробование одного радиолокационного измерителя этого типа. Исследования работы измерителя были направлены на подтверждение его работоспособности в условиях доменной плавки.

Во время испытаний измеритель РДУ–Х2 был установлен на переходном конусе купола доменной печи №9 на отм. 48000 и удален от оси печи на 2,3 м. Радиолуч был направлен к вертикальной оси печи под углом 13°. Для защиты РДУ–Х2 от воздействия газопылевых потоков при температуре газа до 400 °C и избыточном его давлении под колошником до 0,15 МПа использовался азот из цеховой технологической магистрали. Показания выходного тока РДУ–Х2 в диапазоне 4...20 мА выводились на табло миллиамперметра, а уровень засыпи фиксировался самопищущим прибором. С учетом градуировки "ток–расстояние" РДУ–Х2 и его положения на колошнике определялись координаты точки пересечения оси радиолуча с поверхностью засыпи шихты по высоте печи. Для анализа радиолокационной обстановки в зондируемом рабочем пространстве печи дополнительно использовалась информация, поступающая от РДУ–Х2 по последовательному цифровому интерфейсу RS–485/232. Анализ спектра сигнала РДУ–Х2, транслируемого по RS–каналу, показал, что уровень радиосигнала, отраженного от поверхности шихтовых материалов, на 15...25 дБ превышает уровень шумов в радиолокационном канале, что позволило надежно определять положение поверхности засыпи в осевой зоне колошника печи в диапазоне изменения уровня засыпи 0...8 м.

С помощью радиолокационного измерителя, а также двух электромеханических зондов–уровнемеров (ЭМЗ–1,2), измеряющих уровень засыпи в периферийной зоне колошника, производилась оценка параметров в трех точках поверхности засыпи, а имен-

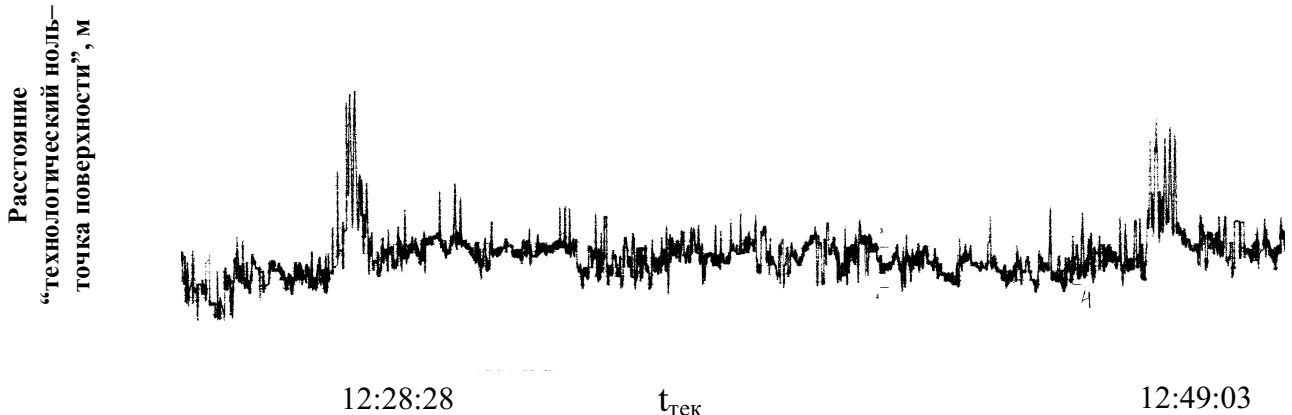


Рис. 1. Диаграмма показаний самописца измерителя уровня засыпи РДУ-Х2

но профиля засыпи за цикл загрузки шихты, скоростей ее опускания, глубины осевой воронки. В ходе исследований контролировались параметры дутьевого режима и загрузки, состав газа по радиусу печи под защитными плитами колошника. Информация об уровне засыпи в осевой зоне печи, полученная с помощью радиолокационного измерителя уровня и регистрируемая самописцем, приведена на рис. 1.

Под расстоянием от технологического нуля до точки поверхности подразумевается расстояние по вертикали от технологического нуля до измеряемой точки.

Анализ приведенной на рис.1 диаграммы показывает, что в случаях выгрузки в центр печи порций кокса (К) и окатышей (О) с 1...4 угловых положений лотка БЗУ (КО 4-1, КО 3-1) луч измерителя отражается от желоба лотка БЗУ, о чем свидетельствует периодическое повторение участков с высокой амплитудой колебаний. Предполагается, что другие изменения показаний измерителя вызваны помехами, создаваемыми шлейфом потока выгружаемого материала и перемещением его по откосу поверхности засыпи.

По результатам исследований с использованием

показаний электромеханических зондов и радиолокационного измерителя уровня построены условные профили и слои отдельных порций материала, выгружаемого с лотка БЗУ в течение цикла загрузки (рис.2). Кроме того, на рис.2 для оценки достоверности построения профилей засыпи шихты по трем измеренным значениям уровней точек поверхности приведены профили, образованные после выгрузки исследовательских подач во время загрузки печи после ее капитального ремонта 1-го разряда в 1989 г. Сопоставление формы этих профилей поверхности засыпи шихты подтверждает достоверность полученных результатов измерений с помощью измерителя РДУ-Х2 и свидетельствует о том, что при большей дискретизации точек замера профиля по радиусу печи информативность и точность полученной информации о состоянии поверхности засыпи увеличится.

На рисунках обозначено: \overline{KO} – исходный профиль перед выгрузкой порции; $KO \downarrow$ – профиль,

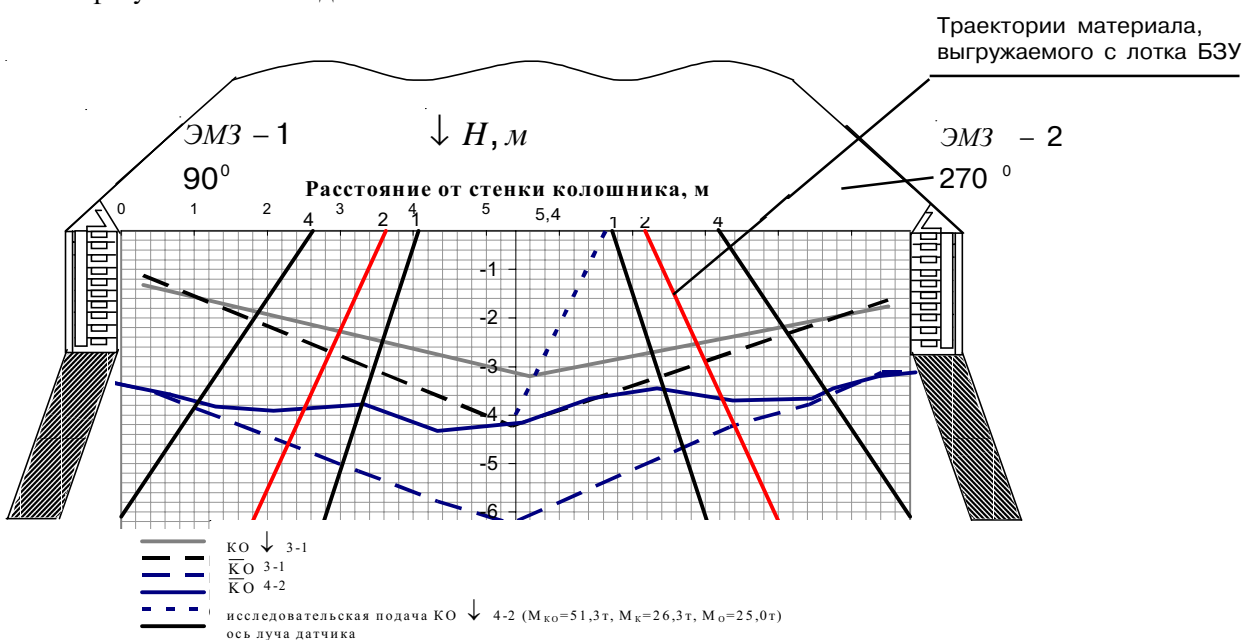


Рис. 2,а. Образование слоя материала на поверхности засыпи после выгрузки порций КО 4-1

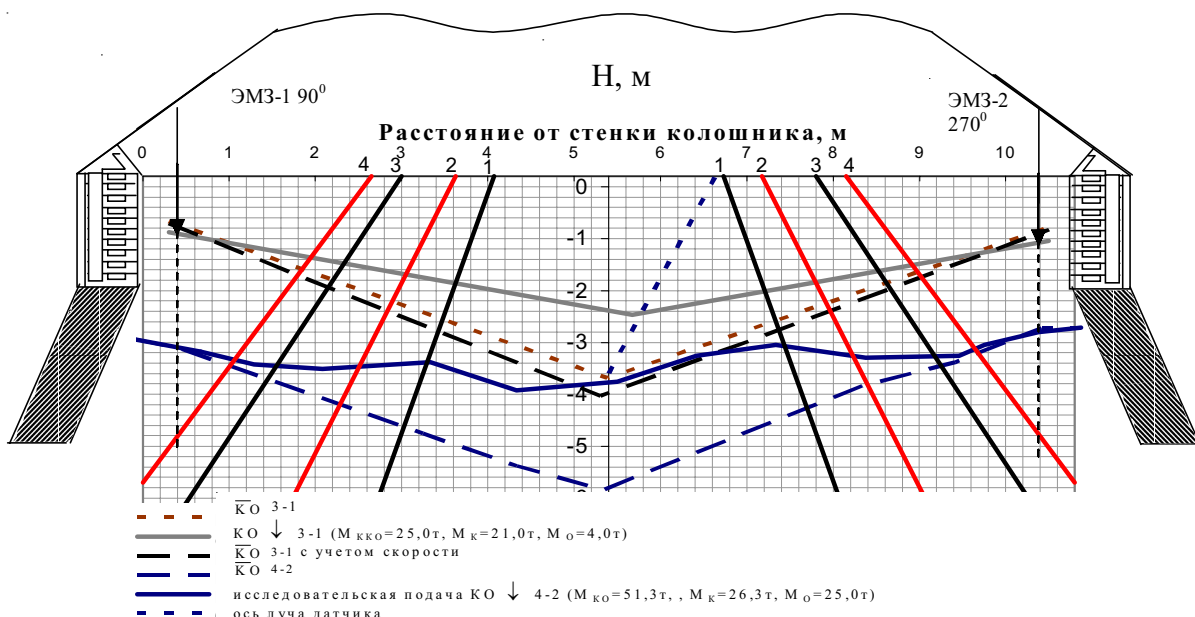


Рис. 2. Образование слоя материала на поверхности засыпи после выгрузки порций КО 3-1

образованный после выгрузки порции; 1...4, 90...270° – угловые, гаражные положения лотка БЗУ; К – кокс; О – окатыши.

Приведенные на рис.2 профили поверхности шихты, построенные по трем значениям уровней точек поверхности после выгрузки в осевую зону печи порций – КО 4-1 и КО 3-1, характеризуют образование поверхности засыпи. В первом случае (2, а) – угол откоса исходного профиля засыпи перед выгрузкой составляет 10...15°, при этом выгруженный материал почти не смещается в осевую зону, а задерживается в промежуточной зоне радиуса печи. Во втором (2, б) – угол откоса близок к 30° и выгруженный материал смещается по поверхности шихты к оси печи.

О необходимости большей дискретизации точек измерения уровней по радиусу колошника, для построения профиля засыпи, свидетельствует и анализ* расчетных значений объемов шихтовых мате-

риалов в слоях, образованных после выгрузки порций шихты. Объемы, рассчитанные как отношение массы выгруженной порции к насыльному весу материала в первом случае (V_1) и определенные геометрическим способом во втором (V_2), приведены в таблице.

Результаты сравнительного анализа приведенных значений объемов свидетельствуют о том, что линейная аппроксимация построения профиля и определение высоты слоев шихтовых материалов по трем точкам при использовании одного измерителя уровня в осевой зоне печи дает величины объема материалов в слое, меньшие на 25...40 %, чем объем выгруженного материала.

Расчетные значения скоростей опускания шихтовых материалов по показаниям электромеханических зондов 1,2 ($V_{ш ЭМ 1}$, $V_{ш ЭМ 2}$) и радиолокационного измерителя уровня ($V_{ш РДУ-X2}$) приведены на рис.3. Определение скоростей произ-

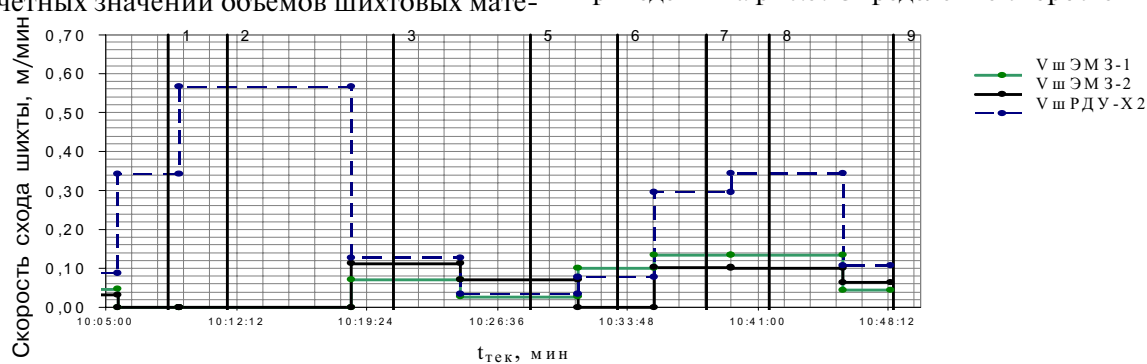


Рис. 3. Диаграмма скоростей опускания шихты на колошнике ДП № 9

Таблица. Объемы материалов (V) в слоях, образованных выгруженными порциями

Дата	Время	Наименование порции	Объем V_1 , м ³	Объем V_2 , м ³	$\Delta V, \%$
12.12.02	10.04.55	АО 9-4	50,168	39,503	21,259
	10.20.44	К 8-5	40,000	29,201	26,998
13.12.02	8.43.21	А 9-6	53,684	46,503	13,376
	8.55.26	КО 3-1	43,905	26,158	40,421
	9.53.07	А 8-4	43,947	42,569	3,136
	10.12.15	К 8-5	32,600	22,739	30,248

*Расчеты и анализ выполнены сотрудниками ИЧМ и сравнивались с результатами инструментальных измерений профиля засыпи шихты в периоды задувки ДП №9 после капитального ремонта 1989 г.

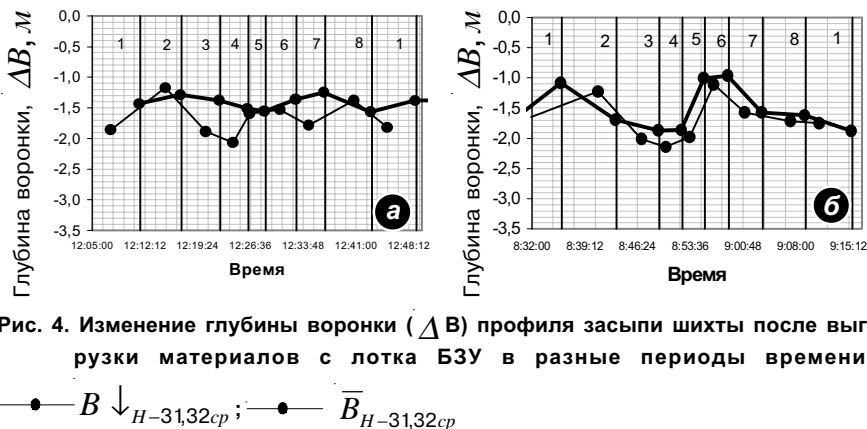


Рис. 4. Изменение глубины воронки (ΔB) профиля засыпи шихты после выгрузки материалов с лотка БЗУ в разные периоды времени:

—●— $B \downarrow_{H-31,32cp}$; —●— $\bar{B}_{H-31,32cp}$

водилось с учетом изменения уровня засыпи по ходу плавки, за интервал времени между выгрузками порций материала при программе загрузке: 1–КО 4-1; 2–А 9-6; 3–К 8-5; 4–АО 9-4; 5–КО 3-1; 6–К 8-4; 7–АО 8-4; 8–К 8-4; 9–АО 9-4.

Из приведенной на рис.3 диаграммы следует, что в периферийной зоне печи скорости опускания шихтовых материалов под электромеханическими зондами достаточно близки, а их значения меньше, чем скорость опускания шихты в осевой зоне, определяемая с помощью радиолокационного измерителя уровня засыпи. Соотношение величин указанных скоростей существенно изменяется в пределах цикла загрузки. Скорости схода по показаниям электромеханических зондов между исходными уровнями засыпи перед выгрузкой порций КО 4-1 и К 8-5 не определялись, из-за работы печи в режиме “догонки меры”. На диаграмме также отсутствует участок, характеризующий изменение скоростей после выгрузки порции – 4: АО 9-4, т.к. перед выгрузкой порции – 5: КО 3-1 измерение уровня засыпи электромеханическими зондами не производилось. Кроме того, перед загрузкой в печь каждой порции электромеханические зонды поднимаются в гаражное положение, где остаются до конца выгрузки материала, что приводит к паузам в измерении уровня засыпи общей продолжительностью около 20 мин в цикле загрузки из девяти порций продолжительностью 45 мин.

Для слоев шихты, полученных при формировании профиля засыпи с учетом скоростей схода в осевой зоне и на периферии, определялось распределение рудных нагрузок по радиусу. Сопоставление полученной зависимости с распределением объемной доли CO_2 в отобранных по радиусу пробах свидетельствует о подобии распределения рудной нагрузки и CO_2 по радиусу печи. Ощущимое различие характера полученных зависимостей в средней части радиуса печи подтверждает целесообразность увеличения количества точек измерения уровня точек профиля и толщины слоев материалов по радиусу колошника.

Рассмотрено влияние программы выгрузки материалов с лотка БЗУ на изменение глубины осевой воронки профиля засыпи. Глубина осевой воронки (ΔB) приближенно определялась, как разность уровней точек поверхности шихты в осевой зоне печи и

среднего значения уровней засыпи по показаниям двух электромеханических зондов при исходном уровне засыпи ($\bar{B}_{H-31,32cp}$) и после выгрузки порции материала ($B \downarrow_{H-31,32cp}$), где 31, 32 – уровни засыпи по показаниям электромеханических зондов 1 и 2 соответственно, Н – уровень точки поверхности в осевой зоне по показаниям РДУ-Х2. На рис.4

показана динамика изменения глубины осевой воронки профиля засыпи в разное время при программе загрузки: 1–КО 4-1; 2–А 9-6; 3–К 8-5; 4–АО 9-4; 5–КО 3-1; 6–К 8-4; 7–АО 8-4; 8–К 8-4; 9–АО 9-4.

Представленные на рис.4 кривые изменения глубины осевой воронки, отражают лишь в первом приближении количественную картину, но вполне отражают качественные особенности изменения ее глубины в течение одного цикла загрузки шихтовых материалов в печь. Кривые изменения глубины осевой воронки перед загрузкой очередной порции и после ее выгрузки носят периодический характер, причем частота изменения глубины, несомненно, жестко связана с частотой выгрузки коксовых порций в осевую зону печи (это порции 1–КО 4-1 и 5–КО 3-1). После выгрузки этих порций глубина осевой воронки несколько уменьшается, а затем увеличивается, после выгрузки “периферийной” порции – 2–А 9-6, величина воронки возрастает, вследствие того, что материал не перетекает в осевую зону печи. В случае, представленном на рис. 4, а, глубина воронки изменяется в течение загрузки цикла подач от 1,1 м до 2,1 м, во втором случае (рис. 4, б) глубина воронки изменяется от 0,8 м до 2,4 м. Во втором случае разница в глубине осевой воронки до и после загрузки порции меньше, она не превосходит 0,4–0,5 м, тогда как в первом случае она достигает 0,7 м. Это, по-видимому, связано с особенностями режима работы печи и интенсивностью ее загрузки. В первом случае печь работала ровнее, а во втором наблюдался переход загрузки в режим догонки меры.

Заключение

Установлено, что технические характеристики радиолокационного измерителя (тип РДУ–Х2) позволяют обеспечить его работоспособность в условиях доменного процесса. Анализ результатов опытной оценки уровня шихты в осевой зоне доменной печи с использованием радиолокационного уровнемера позволяет заключить, что получение значений уровня шихты в большем числе дискретных точек на поверхности засыпи позволит обеспечить информативность контроля рельефа поверхности шихты на колошнике доменных печей. Установка на печи №9 автоматизированной системы измерения профиля засыпи шихты на колошнике, состоящей из двадцати радиолокационных измерителей (тип РДУ–Х2), позволит получать достоверную информацию о ди-

намике изменения поверхности засыпи шихты в ходе процесса плавки.

Библиографический список

1. Большаков В.И., Муравьев И.Г. Средства контроля профиля поверхности засыпи шихты в доменной печи // Металлург. и горноруд. пром-сть. -2002. -№ 2. – С.91 – 94.
2. Большаков В. И., Муравьев И. Г., Шулико С. Т., Семенов Ю. С. Анализ результатов эксплуатации профилемеров на доменных печах //Металлург. и горноруд. пром-сть. -2003. -№ 4. –С. 123-127.
3. Методы контроля профиля поверхности засыпи шихты / Ю.И. Базалинский, А.А. Гришкова, М.М. Френкель и др. //Подготовка сырьевых материалов к металлургическому переделу и производство чугуна Обзор. информ. -М.: Ин-т Черметинформация. - 1987, вып. 1. – 21 с.
4. M.J. Hague, T.M. Ditcher. Blast furnace burden level and profile measurements using microwave devices. – 4- th European Coke and Ironmaking Congress, Paris, 19-21, 2000, Р. 315 – 320.

5. Технологические особенности автоматизированного измерения профиля засыпи шихты в доменной печи, оснащенной БЗУ /В.И. Большаков, И.Г. Муравьев, С.Т. Шулико и др. // Металлург. и горноруд. пром-сть. -2003. -№2. – С.112–114.

6. Головко В.И. Определение профиля поверхности сыпучих материалов с помощью радара // Металлург. и горноруд. пром-сть. – 2000. – №6. – С.15–17.

7. Состояние и перспективы создания радиолокационных профилемеров для доменных печей / В.И.Головко, О.Н.Кукушкин, Н.В.Михайловский и др. // Сучасні проблеми металургії. Том 3: Мат. наук.-практ. конф. “Проблеми і перспективи одержання конкурентоздатної продукції в гірничо-металургійному комплексі України”. НМетАУ, 24–25.10.2000р. – Дніпропетровськ: Системні технології, 2001. – С. 173 – 191.

8. Металл наш тверд, радары – зорки / В.И.Головко, О.Н.Кукушкин, А.А. Дударенко и др. // Металл – Бюллетень – Украина. -2002. -№4, апрель – С.55 – 62.

© В.И. Большаков, С.Т. Шулико, И.Г. Муравьев, Ю.С. Семенов, В.С. Листопадов, А.А. Дударенко, Н.В. Михайловский, В.П. Радченко, 2004 г.

Получено 21.11.03



ЭКОЛОГИЯ И ОХРАНА ОКРУЖАЮЩЕЙ СРЕДЫ

УДК 622.736614.84

П.Н. Полещук, Ю. Л. Петров, Г.Ф. Пшемысский
ГНИПИ «Гипросталь»

Комплексный подход к решению проблемы пожаровзрывобезопасности при проектировании отделений измельчения силикокальция

В данной статье рассмотрен комплексный подход к проблеме понижения пожаровзрывобезопасности при измельчении силикокальция без применения защитной среды на основе азота, в проектах отделений, построенных по проектной документации разработанной Гипросталью. Приведены проектные решения основных проблем, обеспечивающих пожаровзрывобезопасность процесса измельчения силикокальция на основе исследований выполненных различными организациями. Рассмотрены принятые в проекте отделения измельчения силикокальция ОАО «Ванадий-Тула» технические и компоновочные решения, позволившие значительно сократить капитальные и эксплуатационные затраты по сравнению с аналогичным отделением построенным по проекту Гипростали на заводе «Свободный Сокол». Табл. 1. Библиогр.: 4 назв.

силикокальций, пожаровзрывобезопасность, защитная среда, дробление, пыль

Широкое внедрение обработки стали порошковой проволокой, в состав которой в качестве активного реагента входит порошковый силикокальций марки СК25, потребовало изыскания наиболее экономных и безопасных методов получения.

По опытным и литературным данным пиротехническая характеристика пыли силикокальция СК25 и СК30 определяется флегматизацией материала (таблица).

Сокращение удельной поверхности пыли значительно уменьшает адсорбцию газов на ее поверхности, скорость ее окисления с выделением горючих газов, повышает НКПР и температуру самовоспламенения пыли.

Выполненные Научно-исследовательским институтом охраны труда и техники безопасности (бывший ВНИИТБчермет) исследования показали, что снижение удельной поверхности полидисперсной фракции пыли силикокальция марки СК25 размером менее 50 мкм от 3500-4000 см²/г (НКПР 42 г/м³) до 1200-1600 см²/г позволяет более чем на порядок повысить ее НКПР и, соответственно, уменьшить взрывопожароопасность получаемого порошка. Пиротехническая характеристика силикокальция приведена в таблице.

Основные требования, которые необходимо было решить при комплексном подходе к проблеме повышения пожаровзрывобезопасности при выполнении проектов отделений по классификации силикокальция марки СК25, заключались в следующем:

- снижении степени переизмельчения материа-